

طراحی کنترل کننده‌ی فازی بهینه برای پایدارسازی و رای ناپایداری کششی در میکروصفحه‌های دایره‌ای

محسن بختیاری شهری^۱, حمید معین‌فرد^{۲*}, مجید معavenian^۳

۱- دانشجوی کارشناسی ارشد، مهندسی مکانیک، دانشگاه فردوسی مشهد، مشهد

۲- استادیار، مهندسی مکانیک، دانشگاه فردوسی مشهد، مشهد

۳- استاد، مهندسی مکانیک، دانشگاه فردوسی مشهد، مشهد

* مشهد، صندوق پستی ۹۱۷۷۹۴۸۹۷۴ h_moeenfard@um.ac.ir

چکیده

میکروصفحه‌های دایره‌ای با توجه به هندسه‌ی خاصی که دارند، در سیستم‌های میکروالکترومکانیکی مانند میکرومیکرها و مبدل‌های فراصوتی، مورد استفاده قرار می‌گیرند. یکی از مهم‌ترین مشکل‌های کار با میکرومحرکت‌های الکترواستاتیکی، وقوع پدیده‌ی ناپایداری کششی است که مانع از ایجاد جابجایی‌های بزرگ می‌شود. با طراحی کنترل کننده‌ی مناسب، می‌توان میکرومحرکت را در موقعیت‌های فازی از ناپایداری کششی نیز پایدار کرد. در این پژوهش، کنترل موقعیت میکرومحرکت الکترواستاتیکی تشکیل شده از دو صفحه‌ی دایره‌ای با تکیه‌گاه گیردار، مورد نظر است. این کار با هدف افزایش بازه‌ی حرکتی میکرومحرکت و تسريع در اجرای فرمان، انجام می‌شود. با توجه به عدم قطعیت مقادیر پارامترهای مسئله و بهمنظور در نظر گرفتن خطای مدل‌سازی، از کنترل کننده‌ی فازی استفاده شده است. ابتدا با فرض غالب بودن مود اول ارتعاشات و با استفاده از روش لاگرانژ، معادله‌ی حاکم بر ارتعاشات صفحه‌ها به دست آمده است. با استفاده از شبیه‌سازی‌های استاتیکی و دینامیکی مسئله، پایگاه قواعد فازی نوشته شده است. بهمنظور تسريع در اجرای فرمان کنترلی، ضرایب کنترل کننده‌ی فازی با استفاده از الگوریتم ژنتیک، بهینه شده‌اند. در انتهای، با تکرار فرایند بهینه‌سازی برای موقعیت‌های مختلف میکرومحرکت، رابطه‌ای برای بیشینه‌ی ولتاژ اعمال شده بر حسب موقعیت موردنظر، به دست آمده است. عملکرد کنترل کننده‌ی فازی به همراه رابطه‌ی به دست آمده، هنگام اجرای فرمان‌های پله، پلهی چندگانه و چیزی ترسیم شده است. نتایج به دست آمده نشان می‌دهند که اهداف پژوهش به خوبی برآورده شده‌اند.

اطلاعات مقاله

مقاله پژوهشی کامل

دریافت: ۰۴ مهر ۱۳۹۵

پذیرش: ۱۳ آذر ۱۳۹۵

ارائه در سایت: ۱۹ دی ۱۳۹۵

کلید واژگان:

جفت میکروصفحه‌ی دایره‌ای

پایدارسازی و رای ناپایداری کششی

کنترل فازی

بهینه‌سازی

محرك الکترواستاتیکی

Optimal fuzzy controller design for beyond pull-in stabilization of circular micro-plates

Mohsen Bakhtiari Shahri, Hamid Moeenfard*, Majid Moavenian

Department of Mechanical Engineering, Ferdowsi University of Mashhad, Mashhad, Iran
* P.O.B. 9177948974, Mashhad, Iran, h_moeenfard@um.ac.ir

ARTICLE INFORMATION

Original Research Paper
Received 25 September 2016
Accepted 03 December 2016
Available Online 08 January 2017

Keywords:
Double Circular Micro-plates
Beyond Pull-in Stabilization
Fuzzy Control
Optimization
Electrostatic Actuator

ABSTRACT

Circular micro-plates are used in microelectromechanical systems (MEMS) such as micro-pumps and ultrasonic transducers due to their special geometry. One of the most important problems with electrostatic micro-actuators is pull-in instability which prevents large displacements. Stabilization in beyond pull-in displacements can be attained using an appropriate controller. This paper presents a position control problem for an electrostatic micro-actuator consisting of two circular clamped micro-plates to enhance the stroke and speed up the input commands. To consider the modeling error and geometric uncertainties, a fuzzy controller is applied. First, the equation of the plates vibration is derived using Lagrange equation with single mode assumption. Fuzzy rule-base is constructed according to static and dynamic simulations. Genetic algorithm is utilized for finding the optimum parameters of the controller to accelerate accomplishing the commands. Finally, the maximum voltage of the plates is fitted with a function using the optimization results for full range gap commands. The performance of the fuzzy controller along with this function is depicted applying step, multiple step and chirp commands. The obtained results show that the objective has been met well.

۱- مقدمه

سیستم‌های میکروالکترومکانیکی^۱ در زمینه‌های مختلف، مخصوصاً پیشکی و خودروسازی کاربرد وسیعی دارند. قطعات سیستم‌های میکروالکترومکانیکی با

توجه به نوع کاربرد، به دو دسته‌ی محرک‌ها و حسگرها تقسیم می‌شوند. محرک‌ها ابزاری برای تبدیل انواع انرژی نظیر گرمایی و الکتریکی به انرژی حرکتی هستند و به چهار دسته‌ی الکترواستاتیکی، پیزوالکتریکی، حرارتی و مغناطیسی تقسیم می‌شوند [۱].

^۱ Microelectromechanical systems (MEMS) devices

Please cite this article using:

M. Bakhtiari Shahri, H. Moeenfard, M. Moavenian, Optimal fuzzy controller design for beyond pull-in stabilization of circular micro-plates, *Modares Mechanical Engineering*, Vol. 17, No. 1, pp. 151-160, 2017 (in Persian)

برای ارجاع به این مقاله از عبارت ذیل استفاده نمایید:

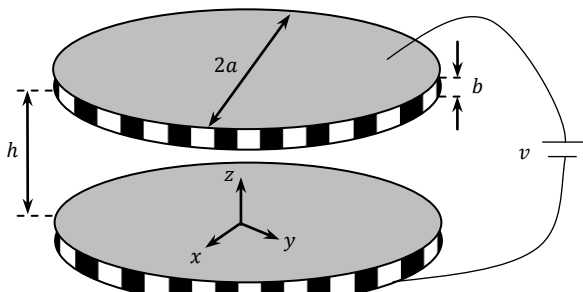


Fig. 1 Electrostatic actuator with two circular microplates

شکل ۱ محرك الکترواستاتيکي با دو ميكروصفحه داييراهي

ناپايداري کشنسي فراهم شده است. بهمنظور تسريع در اجرای فرمان‌ها، بهينه‌سازی پارامترهای کنترل کننده‌ی فازی با استفاده از الگوريتم ژنتيک انجام گرفته است. با تکرار فرایند بهينه‌سازی برای فرمان‌ها، رابطه‌اي برای بيشينه‌ي ولتاژ اعمال شده توسط کنترل کننده، به دست آمد که برای اجرای فرمان‌هاي پله، پله‌ي چندگانه و نوسانی، از آن استفاده شده است.

2- رابطه سازی مسئله

در اين قسمت معادله‌ی حرکت سیستم دیناميکي به دست می‌آيد. در شکل ۱، a و b به ترتیب شعاع و ضخامت صفحه بوده و h و v به ترتیب فاصله‌ی ميانی و اختلاف‌پتانسیل بين دو صفحه است.

2-1- پاسخ دیناميکي سیستم

مؤثرترین مود در اغلب سیستم‌های دیناميکي، شکل مود اول ارتعاشات است. رادگلچين و معين‌فدي [17] درستی اين فرض را برای يك صفحه‌ي مستطيلى سراسر گيردار تحريکشده بهصورت الکترواستاتيک، بررسى كرده‌اند. طبق نتایج اين پژوهش، شکل مود اول به طرز قابل توجهی مؤثرتر از شکل مودهای دوم و سوم است. درنتیجه، فرض می‌شود شکل مود اول بيشترین تأثیر را در رفتار دیناميکي سیستم حاضر دارد. رابطه‌های (1) و (2)، نشان‌دهنده‌ی شکل مودهای ارتعاشات يك صفحه‌ي داييراهي با تکيه‌گاه گيردار است [6].

$$W_{mn}^{(1)}(\hat{r}, \theta) = \{J_m(\lambda_{mn}\hat{r})I_m(\lambda_{mn}a) - J_m(\lambda_{mn}a)I_m(\lambda_{mn}\hat{r})\} \cos(m\theta) \quad (1)$$

$$W_{mn}^{(2)}(\hat{r}, \theta) = \{J_m(\lambda_{mn}\hat{r})I_m(\lambda_{mn}a) - J_m(\lambda_{mn}a)I_m(\lambda_{mn}\hat{r})\} \sin(m\theta) \quad (2)$$

در اين رابطه‌ها، \hat{r} فاصله از مرکز دايير، J_m تابع بسل نوع اول از مرتبه m و I_m تابع بسل هايپربوليک نوع اول از مرتبه m بوده و مقدار λ_{mn} رابطه‌ي (3) به دست می‌آيد [6]:

$$\lambda_{mn} = \sqrt[4]{\frac{\rho b w_{mn}^2}{D}} \quad (3)$$

در اين رابطه، w_{mn} فرکانس طبیعی در مود ارتعاشی mn است. ضمناً D ، سفتی خمشی صفحه بوده و از رابطه‌ي (4) به دست می‌آيد [18]:

$$D = \frac{Eb^3}{12(1-v^2)} \quad (4)$$

که در آن، E مدول يانگ و v ضریب پواسون مربوط به صفحه‌ها است. با استفاده از شکل مودهای ارائه شده در رابطه‌های (1) و (2)، جابجایي نقاط مختلف صفحه‌های داييراهي بهصورت رابطه‌ي (5) به دست می‌آيد [6].

⁵ Flexural rigidity of the plate

ميكروممحرك‌های الکترواستاتيک با توجه به مصرف انرژي کم و دقت بالاي آن‌ها، در بسياري از كاريدها مورد استفاده قرار مي‌گيرند. با توجه به هندسه‌ي ويژه‌ي صفحه‌های داييراهي، از ميكروممحرك‌های با صفحه‌ي داييراهي در ساخت ميكروپمپ‌ها [2] و مبدل‌های فراصوتی ¹ [3] استفاده می‌شود. تحليل ديناميکي صفحه‌های داييراهي، بهطور گسترده‌اي در تحقيق‌های قبلی انجام شده است. به عنوان نمونه، پارک [4] معادله‌ي فرکانسي را برای ارتعاشات درون‌صفحه‌اي در يك صفحه‌ي داييراهي، به دست آورد. شباني و همكارانش [5]، ارتعاشات عرضي صفحه‌ي داييراهي را در اثر اعمال فشار سیال در يك ميكروپمپ مورد بررسی قرار دادند. وگل [3]، ديناميک غيرخطي مبدل‌های فراصوتی داييراهي را در حالت کلي اعمال نيز، معادله‌ي حرکت صفحه‌ي داييراهي را در حالت کلي اعمال نيز، به دست آورد. اين رابطه بايستي برای مسئله‌ي حاضر که شامل دو صفحه بوده و تحت تأثير نيزروي الکترواستاتيکي است، تغيير يابد.

يکی از ويژگی‌های مطلوب محرك‌های الکترواستاتيکي، بازه‌ی حرکتی بزرگ است. در اين محرك‌ها با اعمال اختلاف‌پتانسیل بين دو الکترود، نيزروي جاذبه بين آن‌ها به وجود آمده و باعث نزديکتر شدن آن‌ها می‌گردد. با افرايش ولتاژ جابجايی الکترودها بيشتر می‌شود؛ تا اين که به ازاي يك ولتاژ مشخص، دو الکترود ناگهان به يكديگر می‌جسبند. اين پدیده، ناپايداري کشنسي ² نام دارد و مهم‌ترین مانع در رسیدن به جابجايی‌های بزرگ در ميكروممحرك‌های الکترواستاتيکي است. بهمنظور تأخير در وقوع ناپايداري کشنسي، پژوهش‌های متعددی انجام شده است. روش‌های استفاده‌شده در اين پژوهش‌ها شامل تغيير در مکانيزم متصل به الکترودها [8,7]، تغيير در هندسه‌ي الکترودها [9]، کنترل بار [10] و کنترل ولتاژ [11] می‌شود. ليزر و سانتياگو [12] نيز، تحقيق جامعي درباره روشهای به کار گرفته شده برای تأخير در ناپايداري کشنسي انجام داده‌اند. اگرچه اخيراً پژوهش‌هایي در رابطه با تحليل ناپايداري کشنسي در نانوتير [13]، کنترل ولتاژ در ميكروپمپ دوسر گيردار [14] و طراحی کنترل کننده‌ي ولتاژ برای صفحه‌های موازي متصل به فنر خطی [15] صورت گرفته است، اما تا جايی که نويسنديگان اين مقاله اطلاع دارند، تاکون افزايش بازه‌ی حرکتی ميكروممحرك با صفحه‌های داييراهي سراسر گيردار، به روش کنترل ولتاژ انجام نگرفته است. کنترل کننده‌های فازی برخلاف کنترل کننده‌های کلاسيك، نياز به مدل‌سازی دقیق سیستم نداشته و تنها با تعیين پايگاه قواعد فازی ³ قابل پياده‌سازی هستند [16]. درنتیجه، از کنترل کننده‌ی فازی برای تنظيم ولتاژ استفاده می‌شود.

در اين پژوهش با استفاده از روش کنترل ولتاژ، امكان دستيابي به موقعیت‌های فراتر از ناپايداري کشنسي در ميكروممحرك الکترواستاتيکي، فراهم شده است. مطابق شکل ۱، اين ميكروممحرك شامل دو صفحه داييراهي منعطف داييراهي است که از اطراف با تکيه‌گاه گيردار، مقيد شده‌اند. معادله‌ي حرکت بی بعد سیستم با فرض تئوري کلاسيك صفحه‌ها ⁴ و با استفاده از روابط کرنش خطی به دست آمده است. اگرچه طراحی کنترل کننده‌ی فازی بدون داشتن معادله‌ی حرکت سیستم نيز ممکن است؛ اما بهمنظور مشاهده‌ی عملکرد کنترل کننده نياز به شبیه‌سازی حرکت صفحه‌ها می‌باشد که با استفاده از معادله‌ی حرکت امکان پذير می‌گردد. با استفاده از تحليل‌های استاتيکي و ديناميکي مسئله، پايگاه قواعد فازی استخراج گردیده است. سپس با طراحی کنترل کننده‌ی فازی، دسترسی به موقعیت‌های فراتر از

¹ Ultrasonic transducers

² Pull-in instability

³ Fuzzy rule-base

⁴ Classical Plate Theory (CPT)

$$\gamma_{\hat{r}\theta} = \frac{1}{\hat{r}} \frac{\partial \hat{u}}{\partial \theta} + \frac{\partial \hat{v}}{\partial \hat{r}} - \frac{\hat{v}}{\hat{r}} + 2\hat{z} \left(\frac{-1}{\hat{r}} \frac{\partial^2 \hat{w}}{\partial \hat{r} \partial \theta} + \frac{1}{\hat{r}^2} \frac{\partial \hat{w}}{\partial \theta} \right) \quad (11)$$

که در آن \hat{u} و \hat{v} به ترتیب جابجایی شعاعی و محیطی نقطه‌ای روی صفحه‌ی میانی هستند. طبق تئوری کلاسیک صفحه‌ها، صفحه‌ی میانی دچار تغییر شکل درون‌صفحه‌ای نمی‌شود [6]. با در نظر گرفتن این نتکه و با استفاده از رابطه‌ی (6)، رابطه‌های کرنش به صورت رابطه‌های (12) بازنویسی می‌شود.

$$\begin{aligned} \varepsilon_{\hat{r}\hat{r}} &= -\hat{z} \frac{d^2 W(\hat{r})}{d\hat{r}^2} \frac{\hat{w}_{\max}(\hat{t})}{W(0)} \\ \varepsilon_{\theta\theta} &= -\frac{\hat{z}}{\hat{r}} \frac{dW(\hat{r})}{d\hat{r}} \frac{w_{\max}(\hat{t})}{W(0)} \\ \gamma_{\hat{r}\theta} &= 0 \end{aligned} \quad (12)$$

در مرحله‌ی بعدی لازم است تا تنש‌ها در رابطه‌ی (10)، بر حسب کرنش بیان شود. برای این منظور قاعده‌ی هوک به صورت رابطه‌های (13) نوشته می‌شود [19]:

$$\begin{aligned} \sigma_{\hat{r}\hat{r}} &= \frac{E}{1-\nu^2} (\varepsilon_{\hat{r}\hat{r}} + \nu \varepsilon_{\theta\theta}) \\ \sigma_{\theta\theta} &= \frac{E}{1-\nu^2} (\varepsilon_{\theta\theta} + \nu \varepsilon_{\hat{r}\hat{r}}) \\ \sigma_{\hat{r}\theta} &= G \gamma_{\hat{r}\theta} = 0 \end{aligned} \quad (13)$$

که در آن G مدول برشی است. اکنون با جایگذاری رابطه‌های (12) و (13) در رابطه‌ی (10)، انرژی کرنشی طبق رابطه‌ی (14) به دست می‌آید:

$$\Pi_{\text{mech}} = \frac{E \hat{I}_{\theta\theta}}{1-\nu^2} \left(\frac{\hat{w}_{\max}(\hat{t})}{W(0)} \right)^2 \int_0^a \left\{ W''(\hat{r})^2 + \frac{1}{\hat{r}^2} W'(\hat{r})^2 \right. \\ \left. + \frac{2\nu}{\hat{r}} W'(\hat{r}) W''(\hat{r}) \right\} \hat{r} d\hat{r} \quad (14)$$

که در آن $\hat{I}_{\theta\theta}$ طبق رابطه‌ی (15) محاسبه می‌شود.

$$\hat{I}_{\theta\theta} = \int_0^{2\pi} \int_{-b/2}^{b/2} \hat{z}^2 d\hat{z} d\theta = \frac{\pi b^3}{6} \quad (15)$$

دو صفحه با فاصله‌ی میانی، تشکیل یک خازن با ظرفیت متغیر می‌دهد که انرژی پتانسیل الکتریکی ذخیره‌شده در آن، طبق رابطه‌ی (16) به دست می‌آید.

$$\Pi_{\text{elec}} = -\frac{1}{2} C v^2 = -\frac{\varepsilon_0 v^2}{2} \int_0^a \int_0^{2\pi} \frac{\hat{r} d\theta d\hat{r}}{h - 2\hat{w}(\hat{r}, \theta, \hat{t})} \quad (16)$$

در رابطه‌ی (16)، C ظرفیت خازن و ε_0 ثابت دی‌الکتریک فاصله‌ی میانی است. لازم به ذکر است که در این رابطه مشابه با فرض‌های عسکری و طهانی [20]، از اثر لبه در صفحه‌ها صرف نظر شده است. با فرض شکل مود اول، رابطه‌ی انرژی پتانسیل الکتریکی دو صفحه، به صورت رابطه‌ی (17) بازنویسی می‌شود.

$$\Pi_{\text{elec}} = -\pi \varepsilon_0 v^2 \int_0^a \frac{\hat{r} d\hat{r}}{h - 2 \frac{W(\hat{r})}{W(0)} \hat{w}_{\max}(\hat{t})} \quad (17)$$

طبق فرض‌های تئوری کلاسیک صفحه‌ها، تنها انرژی جنبشی ناشی از حرکت عمودی (جانبی) صفحه‌ها قابل توجه است. درنتیجه انرژی جنبشی دو صفحه به کمک رابطه‌ی (18) محاسبه می‌شود

$$T = \int_{-b/2}^{b/2} \int_0^a \int_0^{2\pi} \rho \left(\frac{\partial \hat{w}(\hat{r}, \theta, \hat{t})}{\partial \hat{t}} \right)^2 \hat{r} d\theta d\hat{r} d\hat{z} \quad (18)$$

که در آن ρ چگالی صفحه بوده و برای دو صفحه یکسان و یکنواخت فرض شده است. انرژی جنبشی به کمک رابطه‌ی (6)، به صورت رابطه‌ی (19) بازنویسی می‌شود.

$$\hat{w}(\hat{r}, \theta, \hat{t}) = \sum_{m=0}^{\infty} \sum_{n=1}^{\infty} \left(W_{mn}^{(1)}(\hat{r}, \theta) \hat{q}_{mn}^{(1)}(\hat{t}) + W_{mn}^{(2)}(\hat{r}, \theta) \hat{q}_{mn}^{(2)}(\hat{t}) \right) \quad (5)$$

در این رابطه $\hat{q}_{mn}^{(i)}$ نشان‌دهنده‌ی قسمت زمانی مربوط به شکل مودها است. با فرض شکل مود اول ($n = 1$ و $m = 0$) و با استفاده از رابطه‌های (1)، (2) و (5)، جابجایی صفحه از رابطه‌ی (6)، به دست می‌آید:

$$\hat{w}(\hat{r}, \theta, \hat{t}) = W(\hat{r}) \hat{q}(\hat{t}) = \frac{W(\hat{r})}{W(0)} \hat{w}_{\max}(\hat{t}) \quad (6)$$

که در آن $\hat{w}_{\max}(\hat{t})$ جابجایی مرکز دایره است. همان‌طور که مشاهده می‌شود پاسخ دینامیکی سیستم، مستقل از θ است که ناشی متقاضی محوری بودن شکل مود اول می‌باشد و باعث سهولت در مدل‌سازی مسئله می‌گردد. این شکل مود در صفحه‌ی دایره‌ای با تکیه‌گاه گیردار به کمک رابطه‌ی (7) به دست می‌آید [6].

$$W(\hat{r}) = J_0(\lambda_{01}\hat{r}) I_0(\lambda_{01}a) - J_0(\lambda_{01}a) I_0(\lambda_{01}\hat{r}) \quad (7)$$

مقدار λ_{01} در این رابطه، از معادله‌ی فرکانسی ذکر شده در رابطه‌ی (8) قابل محاسبه است [6].

$$J_{-1}(\lambda_{01}a) I_0(\lambda_{01}a) - J_0(\lambda_{01}a) I_{-1}(\lambda_{01}a) = 0 \quad (8)$$

با حل این معادله‌ی فرکانسی، نتیجه می‌شود که

2-2- اعمال روش انرژی

در این قسمت به کمک روش انرژی، معادله‌ی حرکت صفحه‌ها به دست می‌آید. برای این منظور ابتدا لازم است با استفاده از پاسخ دینامیکی به دست آمده (رابطه‌ی (6)), رابطه‌های مربوط به انرژی پتانسیل و جنبشی و همچنین کار انجام‌شده توسط نیروهای خارجی مشخص گردد.

طبق تئوری کلاسیک صفحه‌ها چنانچه شرایط مشخصی در مسئله صدق کند، در مدل‌سازی مسئله می‌توان ساده‌سازی‌هایی انجام داد. این شرایط عبارت‌اند از [18]:

- خطوط مستقیم عمود بر صفحه میانی (نرمال‌های جانبی)¹، بعد از تغییر شکل نیز مستقیم باقی مانند.

- نرمال‌های جانبی به‌گونه‌ای می‌چرخدند که پس از تغییر شکل، عمود بر صفحه میانی باقی مانند.

- نرمال‌های جانبی دچار افزایش طول نمی‌شوند.

با فرض برقراری شرایط فوق، طبق رابطه‌ی (9) تعدادی از مؤلفه‌های کرنش و تنش قابل صرف‌نظر هستند [6].

$$\varepsilon_{\hat{r}\hat{r}} = \varepsilon_{\theta\theta} = \sigma_{\hat{r}\hat{r}} = 0 \quad (9)$$

درنتیجه، انرژی پتانسیل مکانیکی ناشی از انرژی کرنش دو صفحه، طبق رابطه‌ی (10) به دست می‌آید [19].

$$\Pi_{\text{mech}} = \int_{-b/2}^{b/2} \int_0^a \int_0^{2\pi} (\varepsilon_{\hat{r}\hat{r}} \sigma_{\hat{r}\hat{r}} + \varepsilon_{\theta\theta} \sigma_{\theta\theta} + \gamma_{\hat{r}\theta} \sigma_{\hat{r}\theta}) \hat{r} d\theta d\hat{r} d\hat{z} \quad (10)$$

برای یافتن معادله‌ی حرکت، انرژی کرنشی باید به صورت تابعی از جابجایی صفحه‌ها نوشته شود. درصورتی که زاویه‌ی چرخش نرمال‌های جانبی به‌اندازه‌ی کافی کوچک باشند، مؤلفه‌های کرنش فون کارمن در مختصات قطبی از رابطه‌های (11) به دست می‌آیند [18]:

$$\begin{aligned} \varepsilon_{\hat{r}\hat{r}} &= \frac{\partial \hat{u}}{\partial \hat{r}} - \hat{z} \frac{\partial^2 \hat{w}}{\partial \hat{r}^2} \\ \varepsilon_{\theta\theta} &= \frac{1}{\hat{r}} \frac{\partial \hat{v}}{\partial \theta} + \frac{\hat{u}}{\hat{r}} - \hat{z} \left(\frac{1}{\hat{r}} \frac{\partial \hat{w}}{\partial \hat{r}} + \frac{1}{\hat{r}^2} \frac{\partial^2 \hat{w}}{\partial \theta^2} \right) \end{aligned}$$

² in-plane deformation

¹ Transverse normals

3- شبیه‌سازی مسئله
در این قسمت شبیه‌سازی‌های استاتیکی و دینامیکی سیستم انجام می‌گیرد. با این کار، ولتاژ و موقعیت ناپایداری استاتیکی و رفتار دینامیکی سیستم مشخص شده و طراحی کنترل کننده میسر می‌شود. در جدول ۱، پارامترهای هندسی و فیزیکی فرض شده برای انجام شبیه‌سازی‌ها، قبل مشاهده است.

3- شبیه‌سازی استاتیکی

هنگامی که ولتاژ به قدری تدریجی اعمال شود که بتوان از سرعت و شتاب صفحه‌ها صرف‌نظر کرد، با توجه به رابطه (28) معادله موقعیت صفحه‌ها طبق رابطه (31) به دست می‌آید.

$$w_{\max} = V^2 \int_0^1 \frac{2W(ar)}{\left(1 - 2 \frac{W(ar)}{W(0)} w_{\max}\right)^2} r dr \quad (31)$$

با استفاده از نرم‌افزار متلب^۱، معادله (31) به روش عددی حل شده و نمودار موقعیت مرکز صفحه‌ها بر حسب ولتاژ بی بعد اعمال شده، طبق شکل ۲ به دست می‌آید. با توجه به این شکل، پدیده ناپایداری کششی، در ولتاژ بی بعد ۰.۲۴۵ رخ می‌دهد. این تحریک باعث جابجایی نرمال شده‌ی ۰.۲۳۴ در مرکز دو صفحه می‌شود.

برای طراحی کنترل کننده‌ی حلقه باز می‌توان از منحنی شکل ۲ استفاده کرد؛ زیرا این نمودار نشان‌دهنده‌ی موقعیت صفحه در حالت پایدار نیز هست. به عنوان نمونه، برای ایجاد جابجایی بی بعد ۰.۱۵ (صفحه‌ی بالای بهاندازه‌ی ۰.۱۵ فاصله‌ی میانی پایین آمده و صفحه‌ی پایینی بهاندازه‌ی ۰.۱۵ فاصله‌ی میانی به بالا کشیده می‌شود)، کافی است تا ولتاژ بی بعدی در حدود ۰.۲۳ بین دو صفحه ایجاد شود. چنانچه این ولتاژ به تدریج اعمال گردد، مشابه شکل ۲، صفحه‌ها به آرامی در موقعیت هدف قرار خواهند گرفت. اما در صورتی که ولتاژ، ناگهانی اعمال شود، پس از مدتی نوسان (بسته به مقدار ضریب میرایی) هدف کنترلی برآورده خواهد شد. در هر دو حالت سرعت دستیابی به فرمان کنترلی کاملاً وابسته به پارامترهای سیستم خواهد بود و قابل تنظیم نمی‌باشد. از طرف دیگر، امکان ایجاد پایداری در موقعیت‌های بزرگ‌تر از موقعیت ناپایداری کششی، وجود ندارد. استفاده از کنترل کننده‌ی حلقه بسته که در پژوهش حاضر مورد بررسی قرار گرفته است، این مشکل‌ها را برطرف می‌کند.

3- شبیه‌سازی دینامیکی

در این قسمت پاسخ زمانی سیستم به ازای مقادیر مختلف ولتاژ تحریک، به دست می‌آید. برای این منظور معادله دیفرانسیل معمولی^۲ رابطه (28)، با استفاده از دستور ode45 در نرم‌افزار متلب حل می‌شود. اساس کار این دستور، روش رانگ کوتا^۳ است.

جدول ۱ مقادیر پارامترهای هندسی و فیزیکی مسئله

Table 1 Values of geometrical and physical parameters of the problem

یکا	مقدار	پارامتر
میکرومتر	750	شعاع
میکرومتر	2	ضخامت
میکرومتر	2	فاصله بین صفحه‌ها
گیگاپاسکال	162	مدول یانگ
-	0.22	ضریب پواسون

¹ MATLAB

² Ordinary Differential Equation (ODE)

³ Runge Kutta

$$T = 2\pi b\rho \left(\frac{\hat{w}_{\max}(\hat{t})}{W(0)}\right)^2 \int_0^a W(\hat{r})^2 \hat{r} d\hat{r} \quad (19)$$

تأثیر سیال بین دو صفحه به صورت میرایی ویکوز فرض می‌شود. درنتیجه کار مجازی انجام شده توسط نیروی خارجی، طبق رابطه (20) به دست می‌آید:

$$\delta\theta_{\text{ext}} = -\frac{4\pi c \hat{w}_{\max}(\hat{t})}{W(0)} \int_0^a W(\hat{r})^2 \hat{r} d\hat{r} \delta\hat{w}_{\max}(\hat{t}) = Q \delta\hat{w}_{\max}(\hat{t}) \quad (20)$$

که در آن c ضریب میرایی خطی سیال و Q نیروی تعیین‌یافته در معادله لاغرانژ است. معادله لاغرانژ طبق رابطه (21) بیان می‌شود.

$$\frac{d}{d\hat{t}} \left(\frac{\partial T}{\partial \hat{w}_{\max}} \right) - \frac{\partial T}{\partial \hat{w}_{\max}} + \frac{\partial (\Pi_{\text{mech}} + \Pi_{\text{elec}})}{\partial \hat{w}_{\max}} = Q \quad (21)$$

اکنون با جایگذاری رابطه‌های به دست آمده برای انرژی پتانسیل (رابطه‌های (14) و (17))، انرژی جنبشی (19) و نیروی تعیین‌یافته (20)، در معادله لاغرانژ (21)، می‌توان معادله‌ی حرکت وابسته به بعد صفحه‌ها را طبق رابطه (22) به دست آورد:

$$\ddot{\hat{w}}_{\max}(\hat{t}) + \frac{c}{b\rho} \dot{\hat{w}}_{\max}(\hat{t}) + \frac{b^2 E}{12\rho I_1} \hat{w}_{\max}(\hat{t}) \int_0^a \{W''(\hat{r})^2 + \frac{1}{r^2} W'(\hat{r})^2 + \frac{2\nu}{\hat{r}} W'(\hat{r})W''(\hat{r})\} \hat{r} d\hat{r} = \frac{\varepsilon_0 v^2 W(0)}{4b\rho I_1} \int_0^a \frac{2W(\hat{r})}{\left(h - 2 \frac{W(\hat{r})}{W(0)} \hat{w}_{\max}(\hat{t})\right)^2} \hat{r} d\hat{r} \quad (22)$$

که در آن \hat{I}_1 از رابطه (23) به دست می‌آید.

$$\hat{I}_1 = \int_0^a W(\hat{r})^2 \hat{r} d\hat{r} \quad (23)$$

از آنجا که کار کردن با پارامترهای بی بعد آسان‌تر است، پارامترهای بی-بعد در رابطه‌های (24) تا (26) فرض می‌شود.

$$r = \frac{\hat{r}}{a} \quad (24)$$

$$w_{\max}(\hat{t}) = \frac{\hat{w}_{\max}(\hat{t})}{h} \quad (25)$$

$$t = \omega_n \hat{t} \quad (26)$$

در رابطه (26)، مقدار ω_n طبق رابطه (27) محاسبه می‌شود:

$$\omega_n^2 = \frac{Eb^2}{12\rho I_1 a^2 (1 - \nu^2)} \int_0^1 \left(\frac{d^2 W(ar)}{dr^2} \right)^2 + \frac{1}{r^2} \left(\frac{dW(ar)}{dr} \right)^2 + \frac{2\nu}{r} \left(\frac{dW(ar)}{dr} \right) \left(\frac{d^2 W(ar)}{dr^2} \right) rdr \quad (27)$$

که در آن مقدار I_1 به سادگی با استفاده از رابطه‌های (23) و (24)، قابل محاسبه است.

اکنون با جایگذاری رابطه‌های (24) تا (26) در رابطه (22)، معادله حرکت بی بعد صفحه‌ها طبق رابطه (28) به دست می‌آید:

$$w''_{\max}(t) + 2\zeta w'_{\max}(t) + w_{\max}(t) = V^2 \int_0^1 \frac{2W(ar)}{\left(1 - 2 \frac{W(ar)}{W(0)} w_{\max}(t)\right)^2} r dr \quad (28)$$

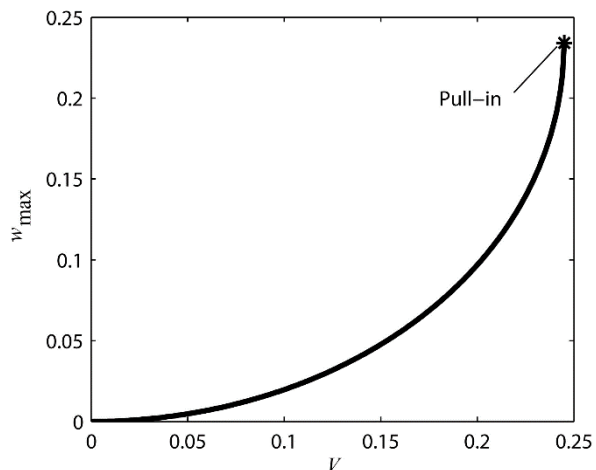
که در آن ζ و V به ترتیب ضریب میرایی بی بعد و ولتاژ بی بعد بوده و از رابطه‌های (29) و (30) به دست می‌آیند.

$$\zeta = \frac{c}{2b\rho\omega_n} \quad (29)$$

$$V = \frac{av}{\omega_n} \sqrt{\frac{\varepsilon_0 W(0)}{4b\rho I_1 h^3}} \quad (30)$$

نشان داده شده‌اند. در این شکل‌ها، $p_k^{(e)}$ و $p_k^{(e')}$ که $k = 1,2$ ، توابع تعلق را تنظیم کرده و عملکرد کنترل کننده را کاملاً تحت تأثیر قرار می‌دهند. به طور مشابه، خروجی کنترل کننده نیز به صورت توابع تعلق مثلثی بیان می‌شود. از آنجا که هر اختلاف‌پتانسیلی بین دو صفحه، منجر به نزدیک شدن آن‌ها می‌شود، تنها مقادیر مثبت ولتاژ در نظر گرفته شده‌اند. توابع تعلق مثلثی مربوط به خروجی کنترل کننده، به صورت μ_{B_j} که $j = 1,2, \dots, 5$ ، نشان داده شده و در شکل 7 مشخص شده است. در این شکل، d بزرگ‌ترین ولتاژ بی بعد اعمال شده توسط کنترل کننده بوده و یکی از پارامترهای کنترلی است. اکنون به کمک شبیه‌سازی‌های انجام‌شده در قسمت قبل، این قاعده استنتاج می‌شود که «اگر ولتاژ زیاد شود، موقعیت صفحه‌ها افزایش می‌یابد». با تعمیم این قاعده، دخالت دادن در کرک‌فیزیکی مسئله و حدس و خطای پایگاه قواعد فازی مطابق جدول 2 به دست می‌آید. با استفاده از پایگاه قواعد، کنترل کننده‌ی فازی قادر به تصمیم‌گیری در موقعیت‌های گوناگون خواهد بود.

با به کار گیری فازی‌ساز منفرد²، موتور استنتاج حاصل ضرب³ و نافازی‌ساز



شکل 2 جابجایی مرکز صفحه‌ها در اثر اعمال تدریجی ولتاژ

نتیجه‌ی شبیه‌سازی دینامیکی، در شکل‌های 3 و 4 نشان داده شده است. برای رسم این شکل‌ها فرض شده است که $\zeta = 0.05$. با توجه به رابطه‌ی (7) و معادله‌ی حرکت سیستم، مقدار شعاع در این شبیه‌سازی بی‌تأثیر است. شکل 3، موقعیت مرکز صفحه‌ها را به ازای تحریک‌های مختلف نشان می‌دهد. همان‌طور که مشاهده می‌شود، به ازای ولتاژ بی بعد ناپایداری دینامیکی رخ داده و دو صفحه به یکدیگر می‌چسبند. ضمناً افزایش ولتاژ تحریک باعث جابجایی‌های بزرگ‌تر می‌گردد. این نکته در طراحی کنترل کننده‌ی فازی برای تدوین قواعد اگر-آنگاه¹ استفاده خواهد شد. شکل 4، سرعت مرکز صفحه‌ها را بر حسب زمان نشان می‌دهد. این دو نمودار در طراحی کنترل کننده و تنظیم پارامترهای آن، به کار می‌روند.

4- طراحی کنترل کننده‌ی فازی

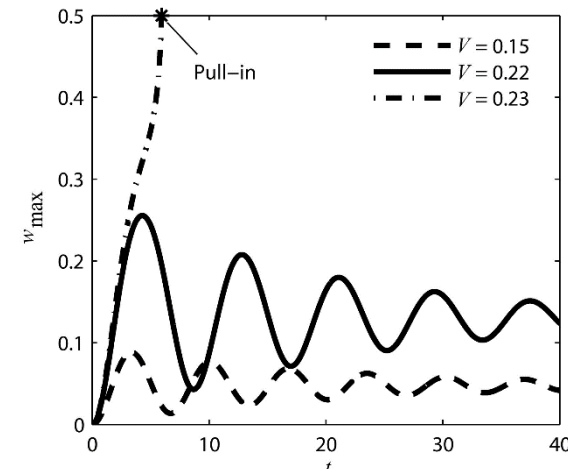
با توجه به نقص‌های مطرح شده برای کنترل کننده‌ی حلقه باز، در این قسمت کنترل کننده‌ی حلقه بسته بر مبنای منطق فازی طراحی می‌شود. استفاده از کنترل کننده‌ی فازی این امکان را فراهم می‌کند تا در صورت وجود عدم قطعیت در ابعاد و پارامترهای مسئله، کنترل کننده عملکرد مناسب خود را حفظ نماید.

ابتدا ورودی‌ها و خروجی کنترل کننده، تعریف شده و به صورت مجموعه‌های فازی درمی‌آید. ورودی‌ها عبارت‌اند از خطای موقعیت و خطای سرعت. اختلاف‌پتانسیل برقرارشده بین دو صفحه نیز به عنوان خروجی کنترل کننده در نظر گرفته می‌شود. خطای موقعیت به صورت میزان انحراف موقعیت مرکز صفحه‌ها از فرمان کنترلی تعریف شده و طبق رابطه‌ی (32) به دست می‌آید:

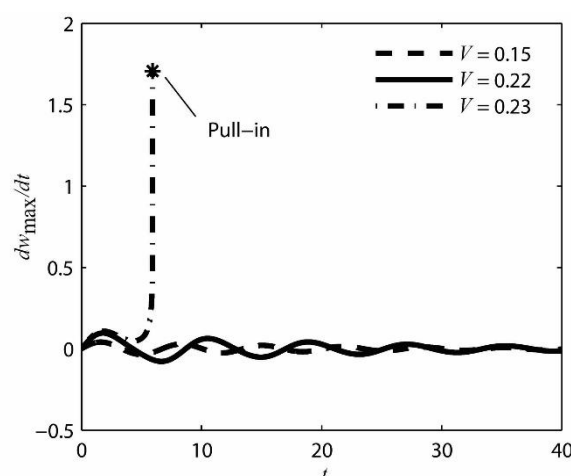
$$e(t) = w_{\max}(t) - w_{\text{des}}(t) \quad (32)$$

که در آن $w_{\text{des}}(t)$ فرمان کنترلی است. بدینهی است خطای سرعت، از مشتق رابطه‌ی (32) نسبت به زمان به دست می‌آید.

ورودی‌های e و e' به ترتیب، به کمک مجموعه‌های فازی $A_i^{(e)}$ و $A_i^{(e')}$ با توابع تعلق مثلثی $\mu_{A_i^{(e)}}$ و $\mu_{A_i^{(e')}}$ ، به صورت فازی بیان می‌شوند. به منظور ایجاد تعادل بین حجم محاسبات و دقت کافی، برای هر یک از ورودی‌ها، 5 مجموعه‌ی فازی در نظر گرفته می‌شود؛ یعنی $i = 1,2,\dots,5$. توابع تعلق مربوط به خطای موقعیت و خطای سرعت، به ترتیب در شکل‌های 5 و 6



شکل 3 موقعیت بی بعد مرکز صفحه‌ها در تحلیل دینامیکی



شکل 4 سرعت بی بعد مرکز صفحه‌ها در تحلیل دینامیکی

² Singleton fuzzifier

³ Product inference engine

می‌شود. در جدول ۳، مقادیر فرض شده برای پارامترهای کنترل کننده نشان داده شده است. این مقادیر به کمک حدس و خطا و با هدف اجرای سریع تر فرمان، به دست آمده‌اند.

به کمک نرم‌افزار متلب و با استفاده از ضرایب کنترلی جدول ۳ شبیه‌سازی عملکرد کنترل کننده انجام می‌شود. شکل ۸ نشان‌دهنده‌ی عملکرد کنترل کننده‌ی فازی به ازای فرمان پله‌ی ۰.۲ است. با توجه به شکل ۲، این فرمان کمتر از مقدار ناپایداری بوده و با استفاده از کنترل کننده‌ی حلقه باز نیز قابل دستیابی است؛ اگرچه با استفاده از کنترل کننده‌ی حلقه باز، زمان رسیدن به پایداری به مراتب بیشتر است. درنتیجه بهمنظور نمایش بهتر عملکرد کنترل کننده، شبیه‌سازی فرمان پله‌ی ۰.۴ نیز انجام شده و در شکل ۹ قابل مشاهده است.

۵- بهینه‌سازی

در قسمت قبل کنترل کننده‌ی فازی بر مبنای ضرایب حاصل از حدس و خطا، مورد تحلیل قرار گرفت. اگرچه شکل‌های ۸ و ۹ عملکرد خوبی از کنترل کننده را نشان می‌دهند، اما با یافتن ضرایب بهینه‌ی کنترل کننده می‌توان به عملکرد بهتری دست یافت. برای این منظور از روش الگوریتم ژنتیک استفاده می‌شود. الگوریتم ژنتیک یکی از الگوریتم‌های تکاملی^۱ بوده و با الهام از فرایند تولید جمعیت در طبیعت عمل می‌کند [۲۲, ۲۱]. در این روش، جمعیت اولیه یا مقادیر اولیه‌ی پارامترهای بهینه‌سازی انتخاب می‌شود. با استفاده از جمعیت اولیه^۲ و عملگرهای ژنتیکی انتخاب^۳، پیوند^۴ و جهش^۵،

جدول ۳ مقادیر پارامترهای کنترل کننده‌ی فازی

Table 3 Values of fuzzy controller parameters

مقادیر	نماد	پارامتر کنترل کننده
۰.۰۰۳	$p_1^{(e)}$	ثابت اول خطای موقعیت
۰.۱۵	$p_2^{(e)}$	ثابت دوم خطای موقعیت
۰.۰۲	$p_1^{(e')}$	ثابت اول خطای سرعت
۰.۱	$p_2^{(e')}$	ثابت دوم خطای سرعت
۱	d	بیشینه‌ی ولتاژی بعد

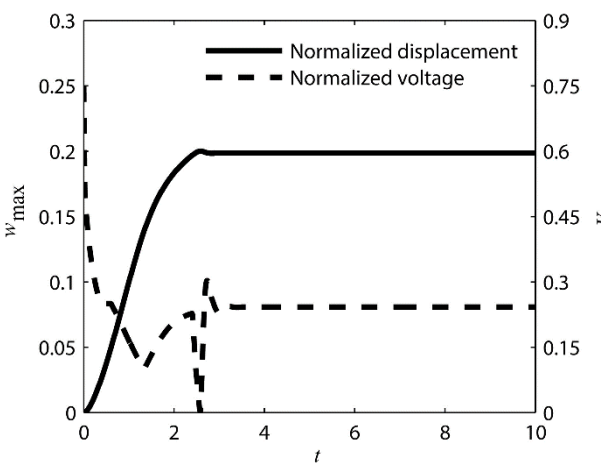


Fig. 8 Performance of fuzzy controller to the step command 0.2

شکل ۸ عملکرد کنترل کننده‌ی فازی با فرمان پله‌ی ۰.۲

^۱ Evolutionary algorithms

^۲ Initial population

^۳ Selection

^۴ Crossover

^۵ Mutation

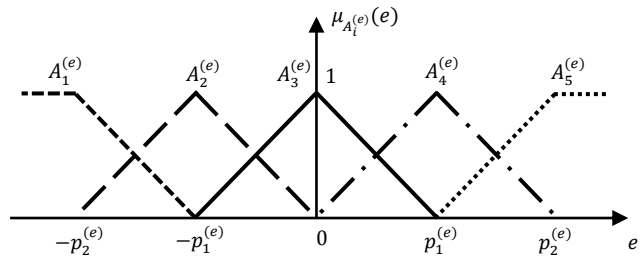


Fig. 5 Membership functions of e

شکل ۵ توابع تعلق مربوط به e

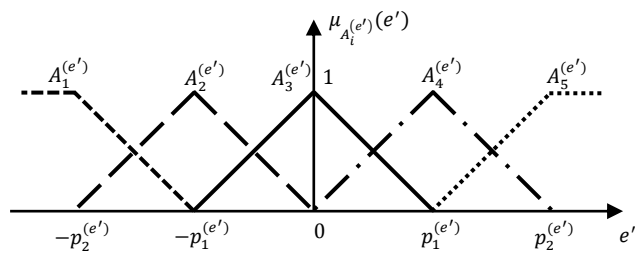


Fig. 6 Membership functions of e'

شکل ۶ توابع تعلق مربوط به e'

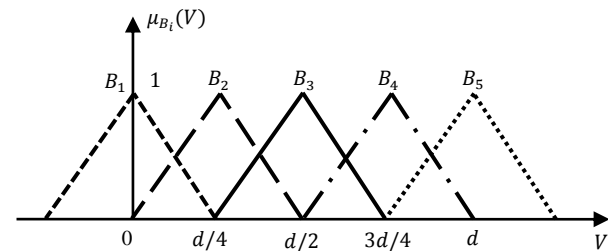


Fig. 7 Membership functions of the controller output

شکل ۷ توابع تعلق مربوط به خروجی کنترل کننده

جدول ۲ پایگاه قواعد فازی

Table 2 Fuzzy rule-base

خطای سرعت					
$A_5^{(e')}$	$A_4^{(e')}$	$A_3^{(e')}$	$A_2^{(e')}$	$A_1^{(e')}$	خطای موقعیت
B_1	B_2	B_3	B_4	B_5	$A_1^{(e)}$
B_1	B_2	B_2	B_4	B_4	$A_2^{(e)}$
B_1	B_1	B_1	B_3	B_4	$A_3^{(e)}$
B_1	B_1	B_1	B_2	B_3	$A_4^{(e)}$
B_1	B_1	B_1	B_1	B_2	$A_5^{(e)}$

$$V(e, e') = \frac{\sum_{i=1}^5 \sum_{j=1}^5 \bar{y}_{ij}(d) \mu_{A_i^{(e)}}(e) \mu_{A_j^{(e')}}(e')}{\sum_{i=1}^5 \sum_{j=1}^5 \mu_{A_i^{(e)}}(e) \mu_{A_j^{(e')}}(e')} \quad (33)$$

میانگین مراکز^۱، خروجی کنترل کننده‌ی فازی نشان داده شده در سطر i و ستون j دست می‌آید [۱۶]؛

که در آن \bar{y}_{ij} ، مرکز مجموعه‌ی فازی تحت فرمان‌های مختلف بررسی

ز جدول ۲ است.

در ادامه، عملکرد کنترل کننده‌ی فازی تحت فرمان‌های مختلف بررسی

^۱ Center average defuzzifier

جدول 4 مقادیر پارامترهای الگوریتم ژنتیک

Table 4 Values of genetic algorithm parameters

پارامتر	مقدار
جمعیت هر نسل	20
بیشینه‌ی تعداد نسل‌ها	100
دقت	10^{-6}
احتمال پیوند	0.8

تمامی فرمان‌ها، وقت‌گیر و غیرممکن است. به همین علت، در گام دوم بهینه‌سازی، تنها چند فرمان از تمامی فرمان‌های ممکن، انتخاب شده و فرایند بهینه‌سازی برای یافتن بیشینه‌ی ولتاژ بی‌بعد (d) تکرار می‌شود. به عبارت دیگر پارامتر بهینه‌سازی در این مرحله، بیشینه‌ی ولتاژ بی‌بعد است. نتایج بهینه‌سازی در جدول 7 نشان داده شده است.

در شکل 11، نمودار تابع برازش بهینه‌سازی بر حسب تکرارها (نسل‌های الگوریتم ژنتیک) هنگام اجرای فرمان پله‌ی 0.4، نشان داده است. در این شکل، G نشان‌دهنده شماره‌ی نسل می‌باشد. مشابه با فرمان 0.2، ضرایب

جدول 5 مقادیر بهینه‌ی ضرایب کنترل کننده برای فرمان پله‌ی 0.2

Table 5 Optimum values of the fuzzy controller parameters for the step command 0.2

پارامتر کنترل کننده	نماد	مقدار
ثابت اول خطای موقعیت	$p_1^{(e)}$	0.0034
ثابت دوم خطای موقعیت	$p_2^{(e)}$	0.1939
ثابت اول خطای سرعت	$p_1^{(e')}$	0.0045
ثابت دوم خطای سرعت	$p_2^{(e')}$	0.0546
بیشینه‌ی ولتاژ بی‌بعد	d	1.4575

جدول 6 مقادیر بهینه‌ی پارامترهای کنترل کننده PID برای فرمان پله‌ی 0.2

Table 6 Optimum values of the PID controller for the step command 0.2

پارامتر	نماد	مقدار
ثابت نسبی	K_p	15.5316
ثابت مشتق‌گیر	T_d	0.8750
ثابت انتگرال‌گیر	T_i	1.2683

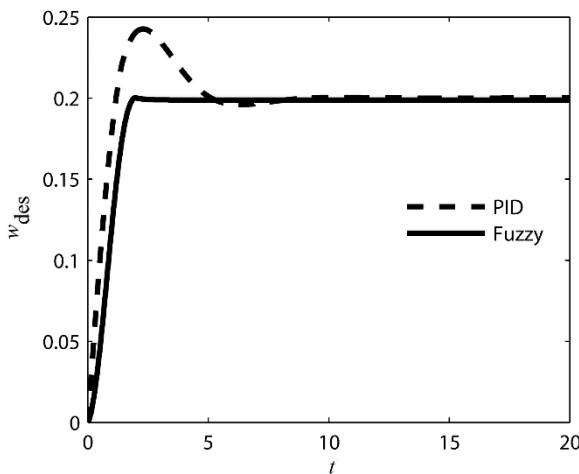


Fig. 10 Comparison between the performance of optimized fuzzy controller and optimized PID one with 0.4 step command

شکل 10 مقایسه عملکرد کنترل کننده‌های بهینه‌ی فازی و PID با فرمان پله‌ی 0.4

0.2

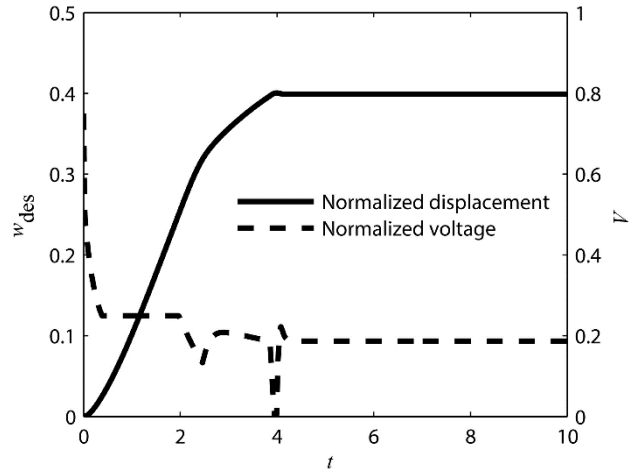


Fig. 9 Performance of fuzzy controller to the step command 0.4

شکل 9 عملکرد کنترل کننده فازی با فرمان پله‌ی 0.4

نسلی¹ تولید می‌شود که سازگاری بیشتری با هدف مسئله دارد [22]. این عمل تا برآورده شدن دقت مورد نیاز یا تحقق یافتن شرط پایان، تکرار می‌گردد. در نتیجه، جمعیت باقیمانده در آخرین نسل، بیشترین تطبیق را با هدف بهینه‌سازی داشته و به عنوان مقادیر بهینه گزارش می‌شود.

مقادیر پارامترهای مهم الگوریتم ژنتیک برای پایدارسازی بهینه‌سازی‌های انجام گرفته در این پژوهش، در جدول 4 نشان داده شده است. همچین احتمال گرش، به صورت یک تابع تصادفی با چگالی احتمال گوسی، و احتمال انتخاب به صورت یک تابع تصادفی با چگالی احتمال یکنواخت در نظر گرفته شده است. تابع برازش بهینه‌سازی نیز به گونه‌ای انتخاب می‌شود که در کوتاه‌ترین زمان ممکن فرمان را اجرا کند. این تابع به صورت حاصل ضرب خطای موقعیت در زمان، فرض شده و باید به وسیله‌ی الگوریتم ژنتیک مینه شود. رابطه‌ی (34)، تابع برازش را نشان می‌دهد.

$$F = \int_0^\infty t |e(p_1^{(e)}, p_2^{(e)}, p_1^{(e')}, p_2^{(e')}, d; t)| dt \quad (34)$$

در گام اول، به کمک تابع GA در نرم‌افزار متلب، ضرایب بهینه‌ی کنترل کننده، به ازای فرمان پله‌ی 0.2 به دست آمده و در جدول 5 نشان داده شده‌اند. در این مرحله تمامی پارامترهای کنترل کننده فازی به عنوان پارامترهای بهینه‌سازی در نظر گرفته شده‌اند. به منظور مشخص شدن عملکرد کنترل کننده بهینه‌ی فازی، کنترل کننده‌ی دیگری از نوع PID با تابع تبدیل $G(s) = K_p(1 + T_d s + 1/T_i s)$ ، طراحی شده و ضرایب آن مشابه با بهینه‌سازی قبلی، به دست آمده است. این ضرایب در جدول 6 ذکر شده‌اند. در شکل 10، مقایسه عملکرد کنترل کننده‌های بهینه‌ی فازی و PID. در فرمانی کمتر از ناپایداری کشنشی سیستم انجام شده است. کنترل کننده فازی بهینه در مقایسه با کنترل کننده فازی غیر بهینه (شکل 8)، زمان صعود² و زمان استقرار³ را به ترتیب 24% و 26% کاهش داده است. لازم به ذکر است، استفاده از کنترل کننده‌ی فازی بهینه در مقایسه با کنترل کننده‌ی بهینه PID، تقریباً باعث حذف فرجهش⁴ شده و زمان استقرار را 58% کاهش داده است.

تکرار مسئله‌ی بهینه‌سازی برای یافتن 5 ضریب کنترل کننده به ازای

¹ Generation² Rise time³ Settling time⁴ Overshoot

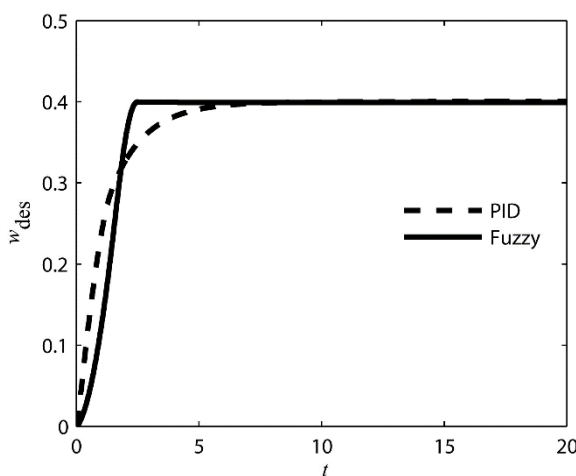


Fig. 12 Comparison between the performance of optimized fuzzy controller and optimized PID one to the step command 0.4

شکل 12 مقایسه عملکرد کنترل کننده‌های بهینه‌ی فازی و PID با فرمان پله‌ی

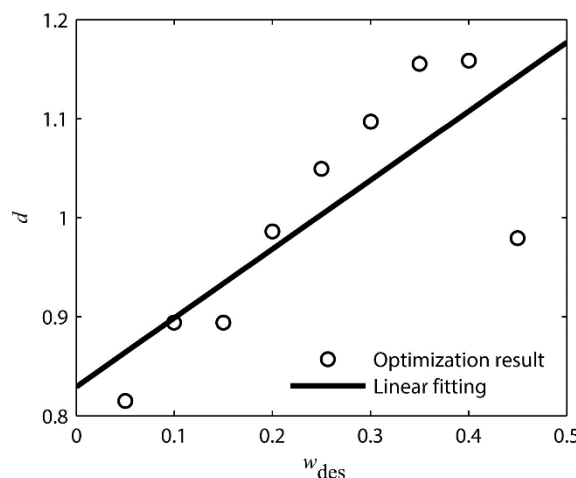


Fig. 13 Linear fitting on the optimum values of d

شکل 13 برازش خطی بر روی مقادیر بهینه‌ی

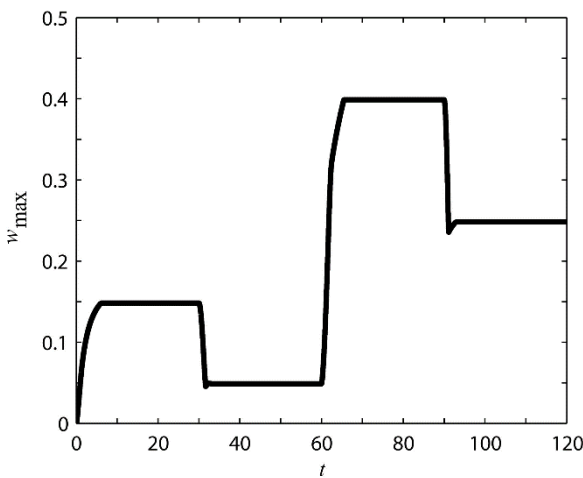


Fig. 14 Performance of fuzzy controller to multiple step command

شکل 14 عملکرد کنترل کننده‌ی فازی بهینه برای فرمان پله‌ی چندگانه

در برخی از کاربردها مانند میکرومیکسر و میکروپمپ لازم است حرکت

بهینه‌ی کنترل کننده‌ی PID به دست آمده که در جدول 8 نشان داده شده است. در شکل 12، عملکرد کنترل کننده‌ی فازی بهینه به ازای فرمان پله‌ی 0.4، با عملکرد کنترل کننده‌ی بهینه PID مقایسه شده است.

کنترل کننده‌ی فازی بهینه در مقایسه با کنترل کننده‌ی فازی غیر بهینه (شکل 9)، زمان صعود و استقرار را به ترتیب 30% و 37% کاهش داده است. همچنین، استفاده از کنترل کننده‌ی فازی بهینه در مقایسه با کنترل کننده‌ی بهینه PID، زمان استقرار را 55% کاهش داده است.

به منظور استفاده از نتایج بهینه‌سازی در سرتاسر بازه‌ی حرکتی صفحه‌ها، مقادیر بهینه بیشینه‌ی ولتاژ بی بعد، با یک خط برازش می‌شوند. این خط در شکل 13، نشان داده شده و به صورت رابطه‌ی (35) است.

$$d = 0.6956w_{des} + 0.8292 \quad (35)$$

با استفاده از معادله‌ی خط برازش شده و چهار ثابت اول ذکر شده در جدول 5، دستیابی به تمامی موقعیت‌ها در کوتاه‌ترین زمان، میسر می‌شود. در شکل 14، رفتار کنترل کننده‌ی فازی بهینه به ازای فرمان پله‌ی چندگانه نشان داده شده است. این شکل، عملکرد مناسب کنترل کننده را در اجرای فرمان‌های کوچک‌تر و بزرگ‌تر از ناپایداری کششی، نشان می‌دهد. ترتیب و مقدار فرمان‌ها با توجه به رابطه‌ی (36)، به دست می‌آید.

$$w_{des} = \begin{cases} 0.35 & 0 \leq t < 25 \\ 0.15 & 25 \leq t < 50 \\ 0.4 & 50 \leq t < 75 \\ 0.2 & 75 \leq t \leq 100 \end{cases} \quad (36)$$

جدول 7 مقدار بهینه‌ی d برای فرمان‌های پله‌ی مختلف

Table 7 Optimum value of d for various step commands

فرمان	مقدار ولتاژ بی بعد
0.8147	0.05
0.8940	0.1
0.8937	0.15
0.9860	0.2
1.0493	0.25
1.0971	0.3
1.1555	0.35
1.1587	0.4
0.9792	0.45

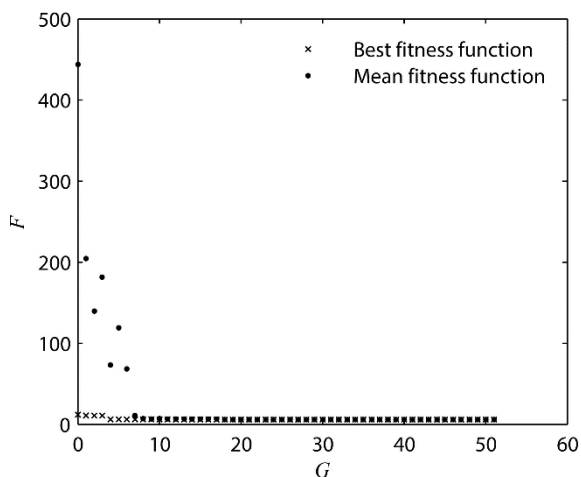


Fig. 11 Fitness function versus the generation of genetic algorithm for the step command 0.4

شکل 11 تابع برازش بر حسب نسل‌های الگوریتم ژنتیک برای فرمان پله‌ی 0.4

ژنتیک به دست آمد. فرایند بهینه‌سازی به منظور یافتن بهینه‌ی ولتاژ کنترل کننده به ازای چند فرمان از سراسر بازه‌ی حرکتی، تکرار شد. با استفاده از برازش نتایج بهینه‌سازی، رابطه‌ای برای بهینه‌ی ولتاژ بی‌بعد به دست آمد. مهم‌ترین نتایج این پژوهش را می‌توان به صورت ذیل خلاصه نمود:

- 1 با طراحی کنترل کننده فازی، امکان دسترسی به موقعیت‌های فراتر از ناپایداری کششی فراهم شده و بازه‌ی حرکتی میکرومحرک، به بیش از دو برابر مقدار قابلی آن رسید. به عبارت دیگر تمام فاصله‌ی بین دو صفحه، قابلیت موقعیت دهی یافته است.
- 2 استفاده از کنترل کننده فازی با ضرایب بهینه به جای کنترل کننده بهینه PID، عملکرد بسیار مناسب‌تری را در کنترل جفت میکروصفحه‌ی دایره‌ای نشان داد. به طور خاص، استفاده از کنترل کننده فازی در فرمان 0.2، با تقریب خوبی باعث حذف فراجهش شده و زمان استقرار را 58 درصد کاهش داد.
- 3 با استفاده از برازش نتایج بهینه‌سازی و بدون طراحی کنترل کننده ناظر، امکان دسترسی به موقعیت‌های مختلف فراهم شد که باعث بار محاسباتی کمتر کنترل کننده می‌شود.
- 4 با استفاده از ضرایب بهینه و خط برازش شده برای کنترل کننده فازی، فرمان‌های پله‌ی چندگانه و چیرپ به خوبی دنبال شدند. به طور خاص، در هنگام شبیه‌سازی ورودی چیرپ، حداقل خطای موقعیت 1.4 درصد مشاهده شد.

رویکرد کنترلی توسعه‌یافته در این پژوهش می‌تواند به سادگی برای کنترل سایر میکرومکانیزم‌های موقعیت‌دهی و پایدارسازی سازه‌های میکرو و نانو در موقعیت‌های مطلوب مورد استفاده قرار بگیرد.

7- مراجع

- [1] D. J. Bell, T. Lu, N. A. Fleck, S. M. Spearing, MEMS actuators and sensors: observations on their performance and selection for purpose, *Journal of Micromechanics and Microengineering*, Vol. 15, No. 7, pp. S153, 2005.
- [2] D. J. Laser, J. G. Santiago, A review of micropumps, *Journal of Micromechanics and Microengineering*, Vol. 14, No. 6, pp. R35, 2004.
- [3] G. W. Vogl, *Nonlinear dynamics of circular plates under electrical loadings for capacitive micromachined ultrasonic transducers (CMUTs)*, PhD Thesis, Virginia Polytechnic Institute and State University, Blacksburg, 2006.
- [4] C. I. Park, Frequency equation for the in-plane vibration of a clamped circular plate, *Journal of Sound and Vibration*, Vol. 313, No. 1, pp. 325-333, 2008.
- [5] R. Shabani, F. Golzar, S. Tariverdilo, H. Taraghi, I. Mirzaei, Hydroelastic vibration of a circular diaphragm in the fluid chamber of a reciprocating micro pump, *International Journal of Engineering*, Vol. 27, No. 4, pp. 643-650, 2014.
- [6] S. S. Rao, *Vibration of Continuous Systems*, pp. 457-495, Hoboken: John Wiley & Sons, 2007.
- [7] D.-Y. Qiao, W.-Z. Yuan, X.-Y. Li, A two-beam method for extending the working range of electrostatic parallel-plate micro-actuators, *Journal of Electrostatics*, Vol. 65, No. 4, pp. 256-262, 2007.
- [8] S. Shmulevich, B. Rivlin, I. Hotzen, D. Elata, A gap-closing electrostatic actuator with a linear extended range, *Journal of Microelectromechanical Systems*, Vol. 22, No. 5, pp. 1109-1114, 2013.
- [9] J. Su, H. Yang, P. Fay, W. Porod, G. Bernstein, A surface micromachined offset-drive method to extend the electrostatic travel range, *Journal of Micromechanics and Microengineering*, Vol. 20, No. 1, pp. 015004, 2009.
- [10] J. I. Seeger, B. E. Boser, Charge control of parallel-plate, electrostatic actuators and the tip-in instability, *Journal of Microelectromechanical Systems*, Vol. 12, No. 5, pp. 656-671, 2003.
- [11] F. A. Shirazi, J. M. Velni, K. M. Grigoriadis, An LPV design approach for voltage control of an electrostatic MEMS actuator, *Journal of Microelectromechanical Systems*, Vol. 20, No. 1, pp. 302-311, 2011.
- [12] W.-M. Zhang, H. Yan, Z.-K. Peng, G. Meng, Electrostatic pull-in instability in MEMS/NEMS: A review, *Sensors and Actuators A: Physical*, Vol. 214, pp. 187-218, 2014.
- [13] A. Noghrehabadi, A. Haghparast, Dynamic and static pull-in instability analysis of partially affected nano-cantilevers using modified couple stress theory, *Modares Mechanical Engineering*, Vol. 99, No. 9, pp. 1-11, 2016. (in Persian)

جدول 8 مقادیر بهینه پارامترهای کنترل کننده PID برای فرمان پله‌ی 0.4
Table 8 Optimum values of the PID controller for the step command 0.4

پارامتر	مقدار
ثابت تناسی	5.7338
ثابت مشتق گیر	1.1781
ثابت انگرال گیر	15.2395

رفت و برگشتی توسط میکروصفحه‌ها انجام گیرد [23]. برای نمایش بهتر قدرت کنترل کننده طراحی شده هنگام اجرای فرمان‌های نوسانی، پاسخ سیستم حلقه بسته به یک سیگنال چیرپ^۱ شبیه‌سازی شده است. برای این منظور، فرمان نوسانی طبق رابطه (37) تعریف می‌شود.

$$w_{des} = 0.2 - 0.2 \cos(\phi(t)) \quad (37)$$

که با در نظر گرفتن چیرپ خطی، مقدار $\phi(t)$ به صورت رابطه (38) فرض می‌شود [24].

$$\phi(t) = \phi_0 + 2\pi \left(f_0 t + \frac{k}{2} t^2 \right) = 0.3t + 0.02t^2 \quad (38)$$

که در آن، f_0 و k به ترتیب برابر با فرکانس در لحظه‌ی صفر و نرخ تغییرات فرکانس هستند. با استفاده از رابطه (35)، ضمن اعمال نتایج به دست آمده از بهینه‌سازی، بهینه‌ی ولتاژ به صورت تابعی از موقعیت هدف، بیان شده و در طول زمان تغییر خواهد کرد. در شکل 15، رفتار کنترل کننده فازی بهینه هنگام اجرای فرمان چیرپ رسم شده است.

6- جمع‌بندی

مانع اصلی در افزایش بازه‌ی حرکتی میکرومحرک‌های الکترواستاتیکی، وقوع پدیده‌ی ناپایداری کششی است. در این پژوهش، به منظور دستیابی به موقعیت‌های فراتر از ناپایداری، کنترل کننده فازی برای تنظیم ولتاژ بین دو صفحه‌ی دایره‌ای، به کار گرفته شد.

ابتدا معادله‌ی حرکت دو صفحه به دست آمده و با استفاده از آن، عملکرد کنترل کننده فازی هنگام اجرای فرمان‌های کوچک‌تر و بزرگ‌تر از ناپایداری کششی بررسی شد. سپس ضرایب بهینه کنترل کننده به کمک الگوریتم

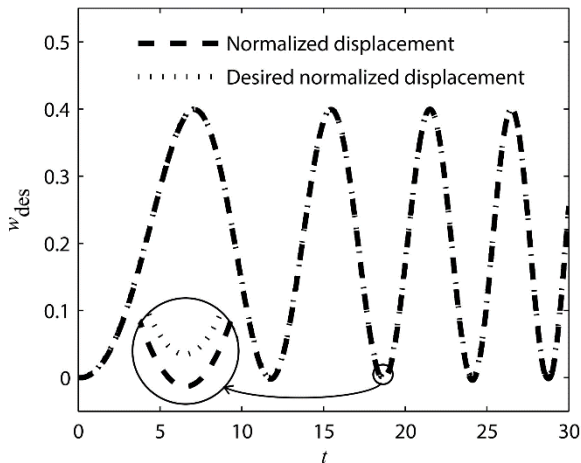


Fig. 15 Performance of optimum fuzzy controller in response to the chirp command

شکل 15 عملکرد کنترل کننده فازی بهینه هنگام اجرای فرمان چیرپ

¹ Chirp

- model for rectangular plates-based resonant micro-sensors based on modified couple stress theory, *Modares Mechanical Engineering*, Vol. 14, No. 8, pp. 121-130, 2014. (in Persian)
[21] Z. Rostamnezhad, T. Adili, A. Chaibakhsh, A. Jamali, Feedback-feedforward control system design and optimizing the performance of crude oil fired heater furnace using genetic algorithm for abnormal conditions management, *Modares Mechanical Engineering*, Vol. 16, No. 5, pp. 10-18, 2016. (in Persian)
[22] D. E. Goldberg, *Genetic algorithms in search, optimization, and machine learning*, pp. 103-110, Boston: Addison-Wesley, 1989.
[23] C.-W. Tsao, K. Mohseni, Design, Fabrication, and Mixing Characteristics of an Electrostatically Activated Resonant Micropump-Mixer, *Proceeding of 2004 ASME International Mechanical Engineering Congress and Exposition*, Anaheim, California, USA, November 13-20, 2004.
[24] R. L. Easton Jr, *Fourier methods in imaging*, Sixth Edition, pp. 115-117, West Sussex: John Wiley & Sons, 2010.
- [14] V. Marefat Khalilabad, Control of a clamped-clamped microbeam under mechanical shock effects using feedback linearization technique, *Modares Mechanical Engineering*, Vol. 16, No. 10, pp. 69-76, 2016. (in Persian)
[15] E. E. Moreira, V. Lima, F. S. Alves, J. Cabral, J. Gaspar, L. A. Rocha, Full-gap tracking system for parallel plate electrostatic actuators using closed-loop control, *Sensors and Actuators A: Physical*, Vol. 244, pp. 174-183, 2016.
[16] L.-X. Wang, *A course in fuzzy systems*, pp. 1-127, Upper Saddle River: Prentice-Hall press, 1999.
[17] M. Radgolchin, H. Moeenfarid, Development of a multi-level adaptive fuzzy controller for beyond pull-in stabilization of electrostatically actuated microplates, *Journal of Vibration and Control*, pp. 1-19, 2016.
[18] J. N. Reddy, *Theory and analysis of elastic plates and shells*, Second Edition, pp. 96-154, Boca Raton: CRC press, 2006.
[19] W. Soedel, *Vibrations of shells and plates*, Third Edition, pp. 482-486, New York: Marcel Dekker, 2004.
[20] A. R. Askari, M. Tahani, Presenting size-dependent electro-mechanical